

УДК 548.736

**КРИСТАЛЛОГРАФИЧЕСКИЙ АНАЛИЗ ПРИРОДНЫХ СУЛЬФИДОВ
ТЯЖЕЛЫХ МЕТАЛЛОВ: РУКСЕЛИТА, ФЕЛЬБЕРТАЛИТА, МАРРУЧЧИИТА**

С.В. Борисов, С.А. Магарилл, Н.В. Первухина

Институт неорганической химии им. А.В. Николаева СО РАН, Новосибирск
E-mail: borisov@niic.nsc.ru

Статья поступила 1 февраля 2013 г.

Кристаллографический анализ трех сложных сульфидов с симметрией $C2/m$: минералов рукселит (rouxelite) $Cu_2HgPb_{22}Sb_{28}S_{64}(O,S)_2$, фельберталит (felbertalite) $Cu_2Pb_6Bi_8S_{19}$, марруччиит (marrucciite) $Hg_3Pb_{16}Sb_{18}S_{46}$ установил факт псевдотрансляционного упорядочения как катионов, так и отдельно анионов семействами кристаллографических плоскостей, образующих регулярные катионные и анионные подрешетки соответственно. Выделены одно- и двумерные фрагменты структур, по геометрии близкие к "архетипу" PbS , что коррелирует с концепцией школы Э. Маковицкого по "boxwork" архитектуре сульфосолей.

Ключевые слова: кристаллографический анализ, структуры сульфидов, катионные и анионные подрешетки, рукселит, фельберталит, марруччиит.

ВВЕДЕНИЕ

Современная практика использования кристаллических материалов развивается в направлении от простых к сложным. Здесь есть чему поучиться у природы, причем особенно разнообразными объектами богаты природные сульфиды. В последние годы найдены, получены искусственно и тщательно исследованы структурно сульфиды самых разнообразных составов [1]. При образовании кристаллических структур наблюдаются два процесса: либо индивидуальные позиции в структуре заполняются набором атомов, близких по размерам и химическим характеристикам (изоморфизм), либо каждый сорт стремится иметь свое отдельное место. В первом случае даже сложный состав может уложиться в умеренный объем элементарной ячейки, во втором ее размеры вынужденно возрастают.

В цикле наших работ [2—5] были проанализированы особенности структурообразования сравнительно простых соединений, как правило, двойных сульфидов и сульфосолей. Из полученных там результатов отметим, что во всех случаях обнаружены псевдотрансляционные упорядочения (подрешетки) катионов и — отдельно — анионов с разной степенью регулярности. Геометрические параметры подрешеток для разных наборов катионов варьируют в довольно узких пределах, что также имеет место и для анионных подрешеток.

В данной работе описан кристаллографический анализ трех структур сульфидов, сложных по катионному составу (3 и 4 сорта катионов), проведенный с целью установить наличие псевдотрансляционных упорядочений позиций катионов и анионов подрешетками с параметрами порядка ближайших межкатионных и межанионных расстояний соответственно. Согласование этих упорядочений с распространенной трактовкой этих структур как комбинаций типовых одно- и двумерных "строительных" блоков разного состава и ориентаций (по Э. Маковицкому [6]) — другая задача этой работы.

Т а б л и ц а 1

Относительные (нормированные на 100; $F > 50$) амплитуды F'_{hkl} отражений для структуры рукселита, рассчитанные только для катионов (F'_k) и только для анионов (F'_a)

hkl	d_{hkl}	F'_k	hkl	d_{hkl}	F'_a
$\bar{1}207$	3,50	54	10.02*	3,41	52
10.02*	3,41	78	$\bar{1}2.01$	3,05	50
$\bar{1}208$	3,40	57	$\bar{1}4.08^*$	3,01	55
00.10*	3,36	73	918	2,87	50
11.1.15	2,11	50	912	2,75	64
020*	2,03	100	020*	2,03	100

* Координатные плоскости подъячейки здесь и далее.

плотноупакованных катионами плоскостей вошли перпендикулярные к зеркальной ($h0l$)-плоскости и совпадающие с зеркальными плоскостями (020), фиксирующие у-координату всех атомов структуры ($y = 0, 1/2$). Самый жестко упорядоченный "силовой" катионный скелет структуры образован подрешеткой точек пересечений плоскостей (10.0.2), (0.0.10) и (020) с числом таких точек в элементарной ячейке, равным детерминанту из индексов: $\det\{|0.0.10|10.0.2|020|\} = 200$. Рассчитанные по [9] параметры подрешетки: $a_k = -1/50a + 1/10c = 4,25$, $b_k = 1/10a = 4,31$, $c_k = b/2 = 2,03 \text{ \AA}$, $\gamma_k = 127,72^\circ$. На рис. 1, *a* показана проекция позиций катионов на плоскость xz и сетка узлов — точек пересечений координатных плоскостей подрешетки (0.0.10) и (10.0.2). Вдоль оси u узлы подрешетки разделены расстоянием в $2,03 \text{ \AA}$, так что занятый атомом узел чередуется с вакантным. С учетом того, что наиболее легкий катион Cu и наполовину заполняющий позиции катион Sb (в центре ячейки и серединах c -трансляций) "выпадают" из упорядочения данными плоскостями, остальные 100 катионов ячейки достаточно близки к соответствующим узлам подрешетки (см. рис. 1, *a*).

В более легкой по массе анионной матрице самыми плотнозаполненными плоскостями оказались ($\bar{1}4.0.8$), (10.0.2), (020) (см. табл. 1), определяющие анионную подъячейку с 216-ю узлами в элементарной ячейке: $\det\{|\bar{1}4.0.8|10.0.2|020|\} = 216$. Анионов же в ячейке 132, что существенно превышает число доступных к заполнению узлов этой подрешетки — с учетом чередования вакансий и занятых вдоль u -оси — 108. На рис. 1, *b* в независимой части ячейки отмечены пары, из которых только один атом обеспечен узлом. За исключением их и позиций, занятых частично анионом кислорода, упорядочение достаточно хорошее. Параметры анионной подрешетки на вышеназванных плоскостях таковы: $a_a = 4/54a + 7/54c = 4,46$, $b_a = 1/54a - 5/54c = 3,94$, $c_a = b/2 = 2,03 \text{ \AA}$, $\alpha_a = 90^\circ$, $\beta_a = 130,14^\circ$ [6].

Зафиксировав факт наличия в структуре рукселита хорошо выраженных "скелетных" подрешеток катионов и анионов, отражающих характер их раздельного упорядочения псевдогексагональными подрешетками, отметим, что это есть результат дальнодействующих "механических" сил, обеспечивающих кристаллизацию [10], и он не исключает локальных образований, инициированных химическими связями между атомами. Имея в виду трактовку структуры рукселита как сочетания фрагментов со стандартной атомной конфигурацией типа PbS [7], проведем поиск этих фрагментов в катионной и анионной матрицах рукселита. Будем опираться на гипотезу, что для сульфидов наших катионов структура типа PbS, т.е. структура с взаимной октаэдрической координацией катионов анионами и наоборот, а также с трехслойной плотнейшей

КРИСТАЛЛОГРАФИЧЕСКИЙ АНАЛИЗ

Структурно исследованный минерал рукселит (rouxelite) $\text{Cu}_2\text{HgPb}_{22}\text{Sb}_{28}\text{S}_{64}(\text{O},\text{S})_2$ ($C2/m$, $Z = 2$, $a = 43,113$, $b = 4,059$, $c = 37,874 \text{ \AA}$, $\beta = 117,35^\circ$, $V = 5887 \text{ \AA}^3$ [7]) имеет 27 разных кристаллографических позиций для катионов и 33 позиции для анионов. Из первых большая часть занята единственным сортом катионов — Cu, Hg, Pb, Sb — и только в четырех уточнением зафиксирована смесь (Pb+Sb). В упрощенной процедуре кристаллографического анализа найти кристаллографические плоскости, наиболее плотно упакованные тяжелыми катионами, можно по экспериментальной порошковой дифрактометрии, приведенной в [8]. Она также соответствует и расчетной, выполненной по координатам только катионов структуры (табл. 1). Как и обычно для таких "таблетчатых" структур с зеркальной плоскостью симметрии, перпендикулярной к короткой трансляции ($\sim 4 \text{ \AA}$), в число наиболее

плотноупакованных катионами плоскостей вошли перпендикулярные к зеркальной ($h0l$)-плоскости и совпадающие с зеркальными плоскостями (020), фиксирующие у-координату всех атомов структуры ($y = 0, 1/2$). Самый жестко упорядоченный "силовой" катионный скелет структуры образован подрешеткой точек пересечений плоскостей (10.0.2), (0.0.10) и (020) с числом таких точек в элементарной ячейке, равным детерминанту из индексов: $\det\{|0.0.10|10.0.2|020|\} = 200$. Рассчитанные по [9] параметры подрешетки: $a_k = -1/50a + 1/10c = 4,25$, $b_k = 1/10a = 4,31$, $c_k = b/2 = 2,03 \text{ \AA}$, $\gamma_k = 127,72^\circ$. На рис. 1, *a* показана проекция позиций катионов на плоскость xz и сетка узлов — точек пересечений координатных плоскостей подрешетки (0.0.10) и (10.0.2). Вдоль оси u узлы подрешетки разделены расстоянием в $2,03 \text{ \AA}$, так что занятый атомом узел чередуется с вакантным. С учетом того, что наиболее легкий катион Cu и наполовину заполняющий позиции катион Sb (в центре ячейки и серединах c -трансляций) "выпадают" из упорядочения данными плоскостями, остальные 100 катионов ячейки достаточно близки к соответствующим узлам подрешетки (см. рис. 1, *a*).

В более легкой по массе анионной матрице самыми плотнозаполненными плоскостями оказались ($\bar{1}4.0.8$), (10.0.2), (020) (см. табл. 1), определяющие анионную подъячейку с 216-ю узлами в элементарной ячейке: $\det\{|\bar{1}4.0.8|10.0.2|020|\} = 216$. Анионов же в ячейке 132, что существенно превышает число доступных к заполнению узлов этой подрешетки — с учетом чередования вакансий и занятых вдоль u -оси — 108. На рис. 1, *b* в независимой части ячейки отмечены пары, из которых только один атом обеспечен узлом. За исключением их и позиций, занятых частично анионом кислорода, упорядочение достаточно хорошее. Параметры анионной подрешетки на вышеназванных плоскостях таковы: $a_a = 4/54a + 7/54c = 4,46$, $b_a = 1/54a - 5/54c = 3,94$, $c_a = b/2 = 2,03 \text{ \AA}$, $\alpha_a = 90^\circ$, $\beta_a = 130,14^\circ$ [6].

Зафиксировав факт наличия в структуре рукселита хорошо выраженных "скелетных" подрешеток катионов и анионов, отражающих характер их раздельного упорядочения псевдогексагональными подрешетками, отметим, что это есть результат дальнодействующих "механических" сил, обеспечивающих кристаллизацию [10], и он не исключает локальных образований, инициированных химическими связями между атомами. Имея в виду трактовку структуры рукселита как сочетания фрагментов со стандартной атомной конфигурацией типа PbS [7], проведем поиск этих фрагментов в катионной и анионной матрицах рукселита. Будем опираться на гипотезу, что для сульфидов наших катионов структура типа PbS, т.е. структура с взаимной октаэдрической координацией катионов анионами и наоборот, а также с трехслойной плотнейшей

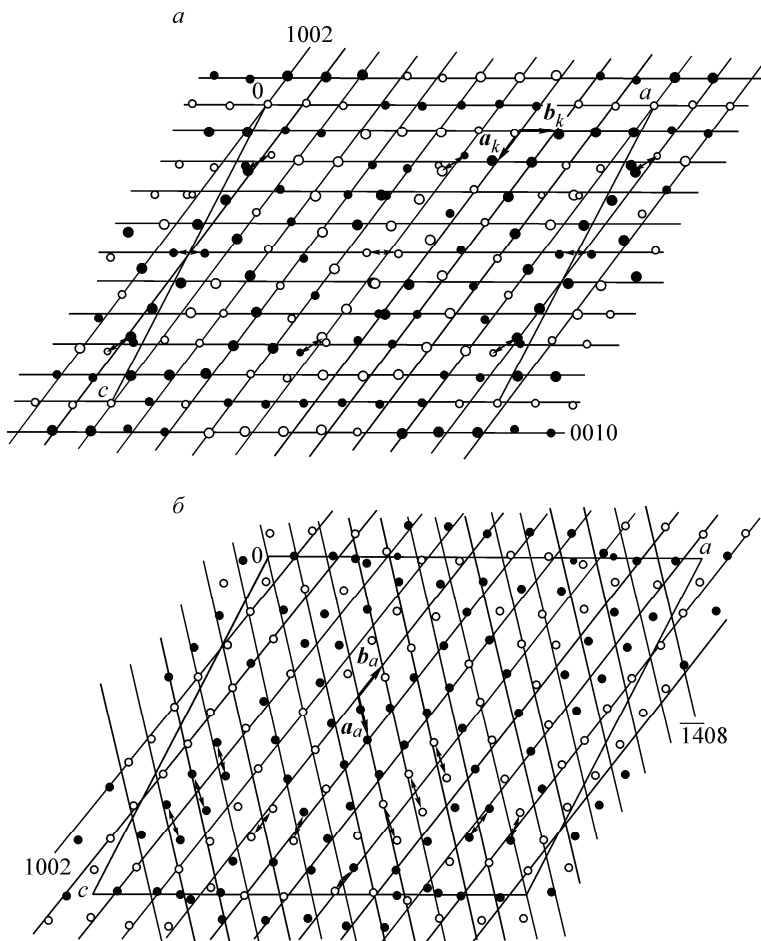


Рис. 1. $\text{Cu}_2\text{HgPb}_{22}\text{Sb}_{28}\text{S}_{64}(\text{O},\text{S})_2$: позиции катионов и сетка узлов катионной подрешетки, образованной плоскостями $(10.0.2)$, $(0.0.10)$, (020) ; Pb , Hg , Sb , Cu — в порядке уменьшения размеров кружков (*a*); позиции анионов и сетка узлов анионной подрешетки, образованной плоскостями $(10.0.2)$, $(\overline{14}.0.8)$, (020) ; атомы кислорода — малые кружки (*b*); пустые и зачерненные — два уровня по u -координате

(по геометрии) кубической упаковкой тех и других наиболее предпочтительна. В этом предположении зеркальные плоскости симметрии и трансляция $\sim 4 \text{ \AA}$, им перпендикулярная, будут сохранявшимся реликтом идеальной симметрии $Fm\bar{3}m$, а именно плоскостями "*m*", перпендикулярными диагоналям граней кубической *F*-ячейки, причем длина центрирующей грань трансляции как раз порядка 4 \AA [11]. Индексы таких зеркальных плоскостей в ячейке PbS будут $\{220\}$, а если спроектировать на эту плоскость позиции катионов (или анионов), получим двухслойную укладку прямоугольных сеток атомов с параметрами a_F и $a_F/\sqrt{2}$, центрирующих друг друга [11].

На рис. 2, *a* фрагменты такой геометрии в катионной матрице выделены и это значит, что в направлении оси *b* структуры пройдут стержни с такими сечениями, в которых геометрия расположения катионов будет как в структуре PbS в направлении $[110]$. На рис. 1, *b* то же самое сделано и в анионной матрице. Взаимное расположение обеих матриц обеспечивает октаэдрическое окружение катионов в объеме стержней двух ориентаций, т.е. действительно в них имеет место геометрия структурного типа PbS .

Между стержнями находятся пограничные зоны (зоны "турбулентности"), где и сосредоточены все существенные отклонения атомов от упорядочения соответствующими подрешетками. Тем не менее близость атомов к узлам своих подрешеток в этих зонах в *xz*-проекции указывает на то, что смещения атомов по сравнению со структурой типа PbS в основном ограничены их перестановками по оси *u* с уровня 0 на $1/2$ и наоборот. На рисунках 2, *a*, *b* стержневые фрагменты структуры Q , H и двумерный слой L по [7] выделены как на катионной, так и на анионной матрицах структуры рукселита. Отличие нашей интерпретации в том, что слой L разбит на стержни, разделенные зонами, в которых находятся "нестандартные" анионы (S , O).

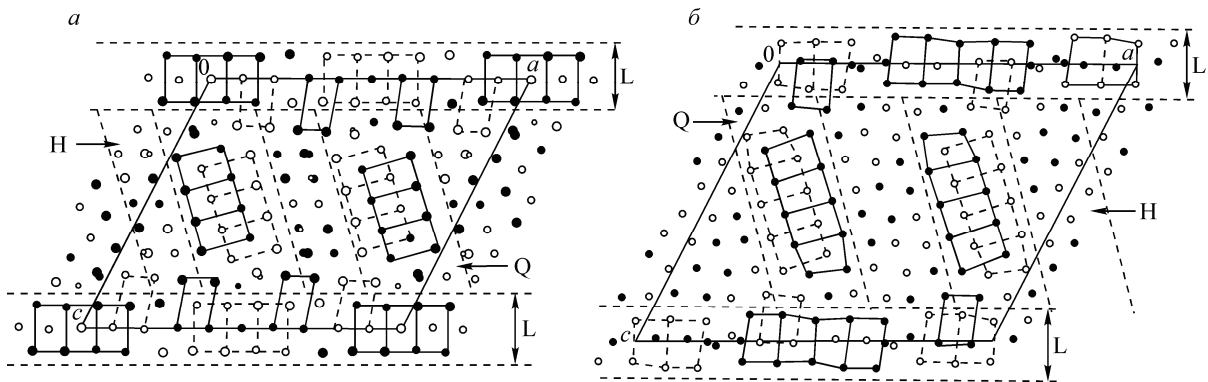


Рис. 2. $\text{Cu}_2\text{HgPb}_{22}\text{Sb}_{28}\text{S}_{64}(\text{O},\text{S})_2$: фрагменты структуры с расположением катионов по типу PbS выделены сплошными и штриховыми линиями (два уровня по y -координате) (а); пунктирными линиями выделены фрагменты H , L , Q в соответствии с [7]; то же самое для позиций анионов (б).

В структуре фельберталита (felbertalite) $\text{Cu}_2\text{Pb}_6\text{Bi}_8\text{S}_{19}$ ($C2/m$, $z = 2$, $a = 27,64$, $b = 4,05$, $c = 20,74 \text{ \AA}$, $\beta = 131,26^\circ$, $V = 5887 \text{ \AA}^3$ [12]) катионы занимают 8 кристаллографических позиций: 4Bi, 3Pb и Cu, анионы — 10. Принимая во внимание, что вклад в интенсивности рефлексов у "тяжелых" катионов будет определяющим, катионную подрешетку структуры можно вычислить из порошковой рентгенограммы (табл. 2). Рефлексы (203), $(\bar{8}03)$ и (020) определяются основываясь на "катионном" скелете с 60 узлами в элементарной ячейке на 12Pb, 16Bi и 4Cu ($\det\{|803|203|020|\}$). На рис. 3, а в проекции на плоскость симметрии t обозначены позиции катионов, сетки узлов подрешетки и фрагменты упаковки катионов по типу структуры PbS. Параметры катионной подъячейки: $a_k = 1/10a - 4/15c = 4,25$, $b_k = 1/10a - 1/15c = 3,82$, $c_k = b/2 = 2,03 \text{ \AA}$, $\alpha_k = \beta_k = 90^\circ$, $\gamma_k = 117,76^\circ$. Избыток катионов (32) по отношению к числу узлов подрешетки, доступных к заполнению (30), приводит к тому, что самые легкие катионы Cu^+ собраны в пары с весьма коротким межатомным расстоянием $\text{Cu}-\text{Cu} = 2,89 \text{ \AA}$, а центр этой "гантели" совпадает с узлом подрешетки.

Анионная подрешетка фельберталита (рис. 3, б) построена на плоскостях $(\bar{8}03)$, (204) и (020)

Таблица 2

Относительные интенсивности I_{hkl} порошковой рентгенограммы фельберталита (нормированные на 100; $I > 20$) и относительные плотности заполнения анионами плоскостей (hkl) ρ_a ($\rho_a > 50$) [12]

hkl	d_{hkl}	I_{hkl}	hkl	d_{hkl}	ρ_a
203*	3,76	78	$\bar{8}03^*$	3,38	72
$\bar{3}13$	3,49	67	$\bar{3}14$	3,18	59
$\bar{6}06$	3,43	48	204*	3,05	78
$\bar{8}03^*$	3,38	52	$\bar{6}07$	2,96	91
$\bar{3}14$	3,18	25	510	2,90	58
$\bar{6}07$	2,96	28	10.0.0	2,08	68
510	2,90	100	020*	2,03	100
$\bar{1}1.1.7$	2,09	25			
10.0.0	2,08	20			
020*	2,03	33			

на основании ранее сделанных нами расчетов [13]. Ее параметры: $a_a = 3/38a + 4/19c = 3,36$, $b_a = 2/19a - 1/19c = 3,72$, $c_a = b/2 = 2,03 \text{ \AA}$, $\alpha_a = \beta_a = 90^\circ$, $\gamma_a = 114,74^\circ$. Из 38 доступных к заполнению узлов анионной подрешетки ($\det\{|204|\bar{8}03|020|\} = 76$) все заняты анионами S (см. рис. 3, б). Совмещая катионные и анионные фрагменты подрешеток, соответствующих по геометрии структурному типу PbS, убеждаемся, что вдоль оси a структуры фельберталита чередуются двумерные фрагменты-слои со структурой типа PbS (взаимное октаэдрическое окружение катионов анионами и наоборот), разделенные узкими прослойками, в которых катионы и анионы нарушают геометрию этого типа структуры, но только в пределах вариации y -координаты, которая при данных значениях координат x и z может быть либо 0, либо 1/2. Таким образом, кристаллографический анализ не только подтвердил сделанную в [13] трактовку, но и обнаружил взаимо-согласованное расположение слоев типа PbS, поскольку катионы и анионы всей структуры подчинены

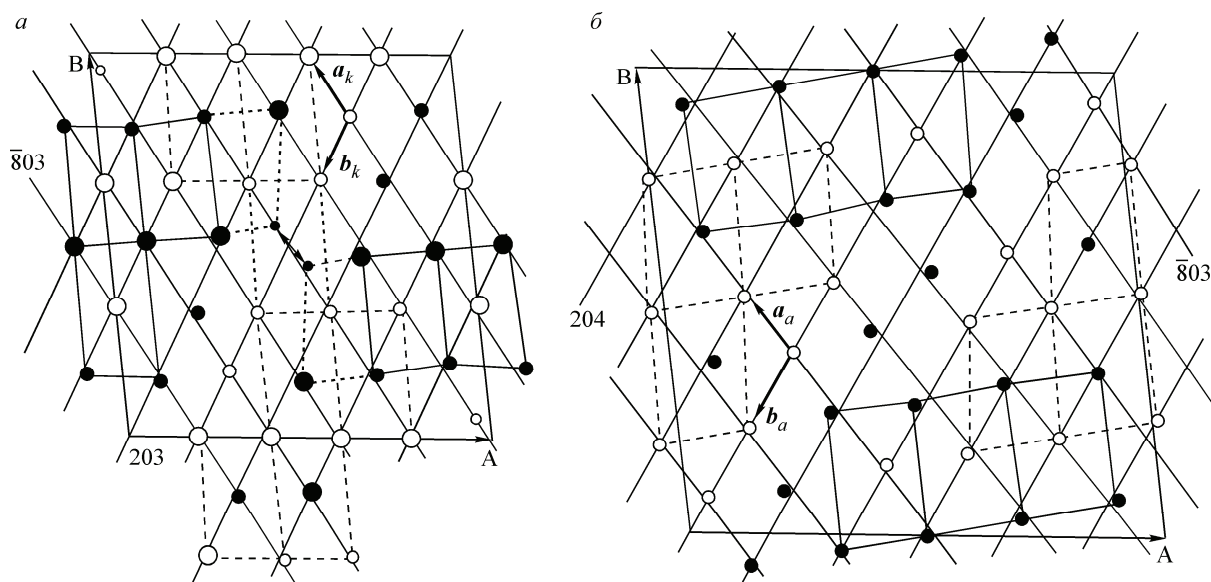


Рис. 3. $\text{Cu}_2\text{Pb}_6\text{Bi}_8\text{S}_{19}$: позиции катионов, сетка узлов катионной подрешетки с выделенными фрагментами по типу PbS (а); позиции анионов, сетка узлов анионной подрешетки и фрагменты с геометрией типа PbS (б) (обозначения как на рис. 1 и 2)
 $A = -a - c = 20,93 \text{ \AA}$; $B = c$; $\Gamma = 96,9^\circ$

своим единственным подрешеткам с возможностью ограниченной вариации позиций атомов за счет вакантных узлов подрешеток.

В заключение заметим, что самое интенсивное отражение структуры (510) свидетельствует о высокой степени упорядочения всех атомов (см. табл. 2). В структурном типе PbS катионы и анионы совместно образуют кубическую примитивную решетку с параметром, равным половине истинного. Плоскости (510), (510) и (607) ($\det = 70$) воспроизводят такую подрешетку в структуре фельберталита с параметрами: $a_p = 1/10a - 1/2b + 3/35c = 2,90$, $b_p = 1/10a + 1/2b + 3/35c = 2,90$, $c_p = 1/7c = 2,96 \text{ \AA}$, $\alpha_p = \beta_p = 90,89^\circ$, $\gamma_p = 88,51^\circ$.

Факт, что и при изменившемся соотношении числа катионов и анионов (32 катиона, 38 анионов), при весьма сложном составе геометрия атомных позиций структурного типа PbS искажается незначительно, свидетельствует о высокой энергетической стабильности этого "силового скелета".

Еще один сульфид сложного состава $\text{Hg}_3\text{Pb}_{16}\text{Sb}_{18}\text{S}_{46}$, минерал марруччиит (marrucciite), частично уже был нами рассмотрен [14] ($C2/m$, $Z = 2$, $a = 48,32$, $b = 4,117$, $c = 24,056 \text{ \AA}$, $\beta = 118,24^\circ$, $V = 4192 \text{ \AA}^3$ [15]).

Из расчетной порошковой рентгенограммы, наиболее интенсивные линии которой приведены в табл. 3, можно предположить, что катионный каркас тяжелых атомов Hg , Pb , Sb имеет подрешетку на плоскостях (803), (607), (020) — первые две в области ожидаемых параметров для данных атомов ($d_{hkl} \sim 3,5 \text{ \AA}$), третья, зеркальная плоскость, концентрирующая все атомы структуры. Число узлов в объеме элементарной ячейки ($\det\{|\bar{6}07|803|020|\} = 148$), с учетом половинной занятости оно равно числу катионов в ней (74). Параметры катионной подрешет-

Таблица 3

Относительные интенсивности I_{hkl} порошковой рентгенограммы марруччиита (нормированные на 100; $I > 40$) и рассчитанные только для анионов амплитуды плотноупакованных кристаллографических плоскостей F'_a (нормированные на 100; $F'_a > 40$)

hkl	d_{hkl}	I_{hkl}	hkl	d_{hkl}	F'_a
803*	3,49	100	803	3,49	61
14.04	3,43	59	607	3,43	44
607*	3,43	64	16.0.3*	3,00	58
314	3,39	41	608	2,98	56
115	3,01	40	11.1.1	2,92	49
1112	2,99	43	713	2,78	60
11.1.1	2,92	86	116	2,73	44
11.1.0	2,81	48	10.0.4*	2,73	53
020*	2,06	78	020*	2,06	100

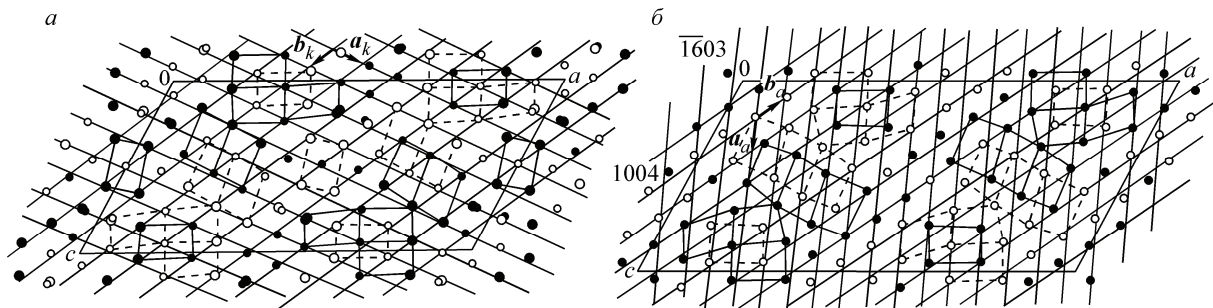


Рис. 4. $\text{Hg}_3\text{Pb}_{16}\text{Sb}_{18}\text{S}_{46}$: позиции катионов, сетка узлов катионной подрешетки и выделенные фрагменты с геометрией типа PbS (а); позиции анионов, сетка узлов анионной подрешетки и фрагменты с геометрией типа PbS (б) (обозначения как на рис. 1 и 2)

ки: $\mathbf{a}_k = 7/74\mathbf{a} + 3/37\mathbf{c} = 4,01$, $\mathbf{b}_k = -3/74\mathbf{a} + 4/37\mathbf{c} = 3,94$, $\mathbf{c}_k = \mathbf{b}/2 = 2,06 \text{ \AA}$, $\alpha_k = \beta_k = 90^\circ$, $\gamma_k = 119,46^\circ$. На рис. 4, а в проекции на зеркальную плоскость симметрии показаны узлы подрешетки и реальные позиции катионов, имеющих два уровня по координате y . Здесь также выделены области, соответствующие по геометрии взаимному расположению катионов по типу PbS (с учетом небольших деформаций). Как и в случае рукселита, они представляют сечения модулей-стержней, параллельных оси y — строительных элементов структуры в концепции Э. Маковицкого [6].

В расположении анионов в структуре марруччиита нет признаков одной (преобладающей) подрешетки. В качестве координатных плоскостей были взяты $(16.0.\bar{3})$, $(10.0.4)$ и (020) , поскольку первые две определяют "диагональную" плоскость $(\bar{6}07)$, которая также в числе интенсивных и, кроме того, служит координатной плоскостью катионной подъячейки (см. табл. 3). На рис. 4, б представлены сетка узлов подъячейки, реальные позиции анионов и зоны с PbS -типом взаимного расположения анионов. Сопоставление рисунков 4, а и 4, б показывает, что анионная матрица согласуется с более упорядоченной катионной в том числе и в областях фрагментов с PbS -типом структуры. Параметры анионной подрешетки: $\mathbf{a}_a = 3/94\mathbf{a} + 8/47\mathbf{c} = 3,61$, $\mathbf{b}_a = 2/47\mathbf{a} - 5/47\mathbf{c} = 3,98$, $\mathbf{c}_a = \mathbf{b}/2 = 2,06 \text{ \AA}$, $\alpha_a = \beta_a = 90^\circ$, $\gamma_a = 131,2^\circ$. На 94 доступных к заполнению узлов приходится 92 аниона.

ЗАКЛЮЧЕНИЕ

Кристаллографический анализ трех типичных представителей многочисленного семейства сульфидов подтвердил ранее полученные факты независимого псевдотрансляционного упорядочения позиций катионов и анионов, образующих в структурах "силовые скелеты" в форме подрешеток с геометрией, близкой к гексагональной. Более тяжелые катионы упорядочены в большей степени, чем анионы, чья геометрия более гибкая и вынуждена подстраиваться к катионной.

Во всех структурах отмечены области с относительным расположением атомов, характерным для структурного типа PbS , причем эти области в катионных и анионных матрицах в основном перекрываются. В зонах контактов этих областей, как правило, сосредоточены существенные нарушения регулярности: максимальные отклонения атомов от узлов подрешеток, избыточные атомы, позиции с изоморфным замещением. Имеет место хорошая корреляция кристаллографического описания рассмотренных структур с разработанной Э. Маковицким с соавторами концепцией сборки их из фрагментов "архетипов" (PbS , SnS , ZnS [6]).

Как и в других "таблетчатых" структурах сульфидов [2—5], основным структурообразующим фактором служит система зеркальных плоскостей симметрии, перпендикулярная короткой ($\sim 4 \text{ \AA}$) b -трансляции. Она идеально упорядочивает позиции атомов по данному направлению и, вероятно, более правильно считать ее не реликтом симметрии "архетипа" (PbS), а начальным этапом упорядочения (кристаллизации). Существующие в предкристаллизационной

фазе разориентированные фрагменты с взаимной октаэдрической координацией катионов и анионов выстраиваются этой системой плоскостей в единые двумерные образования. Кристаллографический анализ показывает, чтостыковка данных фрагментов, обладающих общей системой зеркальных плоскостей, происходит не произвольно, а в нескольких возможных вариантах, так что атомные сетки в зеркальных плоскостях становятся единными по всему кристаллу. Диагностическим признаком этого для моноклинных кристаллов служат интенсивные отражения типа $(h0l)$ в области $d_{hkl} \sim 2\text{--}3,5 \text{ \AA}$, из которых можно получить информацию об упорядочении катионов, чьи вклады в интенсивность для данных структур преобладают.

Установить факт упорядочения анионов можно, проанализировав порошковую, рассчитанную только по координатам анионов. Как и в более простых структурах, независимое упорядочение анионов имеет место и вносит свой вклад в организацию рассмотренных структур.

Нужно также отметить, что отклонения атомов от узлов подрешеток в "турбулентных" зонах означает, что их позиции определяются не только плоскостями, создающими "силовой скелет", но и другими, менее значимыми для всей структуры, в том числе и в некоторых случаях несоразмерными с трансляционной решеткой основных атомов.

Работа выполнена при финансовой поддержке Российского фонда фундаментальных исследований, грант 13-05-00030.

СПИСОК ЛИТЕРАТУРЫ

1. Moëlo Y., Makovicky E., Mozgova N. et al. // Europ. J. Mineralogy. – 2008. – **20**. – P. 7 – 46.
2. Borisov S.V., Podberezskaya N.V., Pervukhina N.V., Magarill S.A. // Found. Phys. Lett. – 2002. – **15**, Issue 1. – P. 543 – 548.
3. Borisov S.V., Podberezskaya N.V., Pervukhina N.V., Magarill S.A. // Z. Kristallogr. – 1998. – **B213**. – S. 253 – 258.
4. Борисов С.В., Магарилл С.А., Первухина Н.В. // Журн. структур. химии. – 2011. – **52**, № 3. – С. 533 – 539.
5. Борисов С.В., Магарилл С.А., Первухина Н.В. // Журн. структур. химии. – 2012. – **53**, № 4. – С. 744 – 750.
6. Makovicky E., Topa D. // Canad. Mineral. – 2009. – **47**. – P. 3 – 24.
7. Orlandi P., Meerschaert A., Moëlo Y. et al. // Canad. Mineral. – 2005. – **43**. – P. 919 – 933.
8. American Mineralogist Crystal Structure Database // Mineralogical Society of America
9. Громилов С.А., Быкова Е.А., Борисов С.В. // Кристаллография. – 2011. – **56**, № 6. – С. 1013 – 1018.
10. Борисов С.В., Магарилл С.А., Первухина Н.В. // Кристаллография. – 2012. – **56**, № 6. – С. 1001 – 1006.
11. Борисов С.В., Магарилл С.А., Первухина Н.В. // Кристаллография. – 2011. – **57**, № 5. – С. 735 – 739.
12. Topa D., Makovicky E., Balić-Zunić T. et al. // Europ. J. Mineral. – 2000. – **12**. – P. 845 – 833.
13. Борисов С.В., Магарилл С.А., Первухина Н.В. // Фундаментальные проблемы современного материаловедения. – 2011. – **8**, № 1. – С. 31 – 35.
14. Борисов С.В., Магарилл С.А., Первухина Н.В. // Журн. структур. химии. – 2009. – **50** (приложение). – С. S111 – S116.
15. Laufek F., Sejkora J., Fejfarova K. et al. // Acta Crystallogr. E. – 2007. – **63**. – P. 190.